

บทที่ 2

ทฤษฎี



2.1 การไหลของ Return Flow ทั้งระบบ

Utah State University Foundation (1969) อธิบายลักษณะและปริมาณของการเกิด Return Flow ในรูปของความสัมพันธ์ของตัวแปรต่าง ๆ เขียนเป็นสมการไว้ดังนี้

$$IRF = f(Q_i, C_s, B_g, T_a, M_a, S_m, S_c, ET, D_p, F_p, C_F, O_i)$$

เมื่อ IRF = ปริมาณของ Return Flow จากพื้นที่ชลประทาน

Q_i = ปริมาณน้ำชลประทาน

C_s = ปริมาณน้ำรั่วซึมจากคลองส่งน้ำ

B_g = ปริมาณของน้ำ By pass

T_a = เวลาในการให้น้ำแก่พื้นที่

M_a = อัตราและวิธีการของการให้น้ำ

S_m = ปริมาณน้ำ (ความชื้น) ในดิน

S_c = คุณลักษณะและคุณสมบัติต่าง ๆ ของดิน เช่น ชนิด เนื้อดิน ขนาดความสามารถในการให้น้ำซึมผ่าน ความสามารถในการอุ้มน้ำ ความลึก ฯลฯ

ET = ปริมาณของการระเหยและการคายน้ำของพืช

D_p = ปริมาณน้ำที่ซึมลึกลงดินใต้เขตรากพืช

F_p = ลักษณะของแปลงปลูกพืช (Farm practice)

C_F = องค์ประกอบทางภูมิภาค เช่น ฝน อุณหภูมิ ความชื้นสัมพัทธ์ ความเร็วลม การแผ่รังสีจากดวงอาทิตย์

O_i = ปริมาณน้ำจากเหตุอื่น ๆ เช่น น้ำเพื่อการอุปโภค บริโภค ประปา น้ำทิ้งจากโรงงานอุตสาหกรรม หมู่บ้าน ฯลฯ

สมการนี้ชี้ให้เห็นความสัมพันธ์ที่มีต่อกันระหว่างตัวแปรต่าง ๆ ในระบบ (System) ที่มีผลเกี่ยวข้องกับปริมาณการไหลของ Return Flow อย่างกว้างและแสดงความยุ่งยากในการหาค่าตัวแปรต่าง ๆ เหล่านั้น

Orlob และ Wood (1967) ได้เสนอแบบจำลอง (Model) การหาปริมาณ Return Flow โดยแยกระบบออกเป็นระบบย่อย 3 ส่วน (Storage elements) คือ ระบบของน้ำในลำน้ำ (Surface Water) ระบบของน้ำในผิวดินชั้นบน (Soil moisture) และระบบของน้ำใต้ดิน (Ground water) น้ำในระบบย่อยทั้งสามจะไหลกลับไปกลับมาตามความสัมพันธ์ที่มีต่อกัน ตามรูป 2.1 น้ำที่เกิดขึ้นในระบบสามารถเขียนเป็นสมการ Continuity ได้ดังนี้

$$\frac{dS}{dt} = \Sigma Q$$

เมื่อ S = ปริมาณน้ำที่เหลือของระบบ (Total storage water)

Q = ปริมาณน้ำที่เกิดจากระบบ (ไหลเข้า-ไหลออก จากระบบ)

t = เป็น เวลาที่พิจารณา

สมการข้างต้น สามารถเขียนแยกตามระบบย่อยต่าง ๆ ได้ดังนี้

ในระบบของน้ำในลำน้ำ ; $\frac{dS_c}{dt} = Q_{ci} - Q_{co} + Q_s + Q_g - Q_d + Q_i - Q_a + R' - E$

ในระบบของน้ำในผิวดินชั้นบน ; $\frac{dS_s}{dt} = Q_{si} - Q_s + Q_d + Q_r - U + R - Q_v$

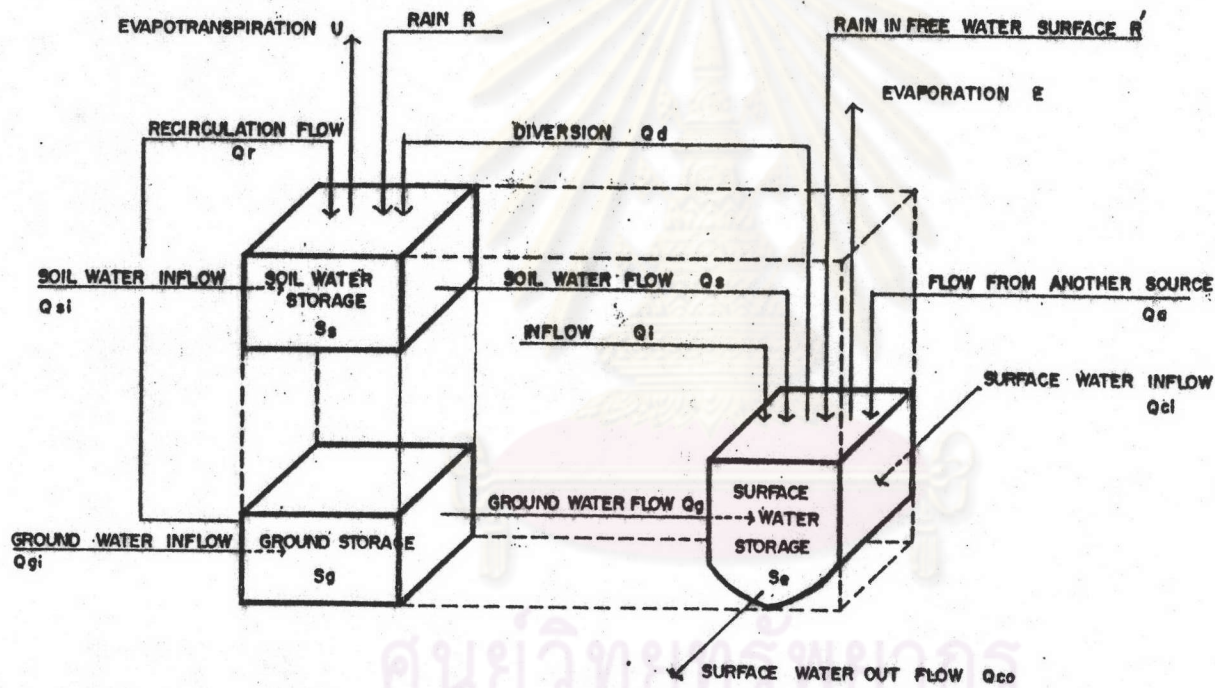
ในระบบของน้ำใต้ดิน ; $\frac{dS_g}{dt} = Q_{gi} - Q_g + Q_v - Q_r$

เมื่อ R เป็นปริมาณน้ำฝนที่ตกลงบนผิวดิน

R' เป็นปริมาณน้ำฝนที่ตกลงบนผิวน้ำในลำน้ำธรรมชาติ

E เป็นปริมาณน้ำที่ระเหยจากผิวน้ำ

U เป็นปริมาณน้ำที่ระเหยและคายน้ำของพืชจากผิวดิน



รูป 2.1 รูปจำลองทางชลศาสตร์ ของ ORLOB และ WOODS (1967)

สำหรับ Subscip c, s และ g แสดงแหล่งที่มาของ Q จากผิวน้ำและจาก
ใต้ดิน ตามลำดับ

- i และ o แสดงปริมาณ เข้าและออกจากระบบย่อยต่าง ๆ
d แสดงแหล่งที่มาของ Q จากการชลประทาน
v แสดง Q ที่ไหลในแนวตั้ง
r แสดง Q ที่ไหลหมุนเวียนอยู่ในระบบย่อยต่าง ๆ
เช่นจากการสูบน้ำ เป็นต้น
a แสดง Q ที่ไหล เข้าหรือออกจากระบบโดย เหตุ
อื่นนอกจากที่กล่าวไว้

2.2 น้ำผิวดิน (Surface flow)

ปริมาณและการเกิดน้ำไหลผิวดินหรือ Runoff เป็นผลมาจากสภาพและความลาด
ชันของพื้นที่ ความชื้นในดิน อัตราการซึมผ่านผิวดิน (Infiltration rate) ปริมาณและ
ช่วงเวลาการตกของฝน อัตราการใช้น้ำของพืชและชนิดของพืชที่ปลูก ในระบบชลประทาน
ปริมาณน้ำไหลผิวดินสามารถวัดหาออกมาได้โดยตรงและสามารถควบคุมปริมาณของการ เกิดได้
โดยไม่มีปัญหามากมายนักจากระบบส่งน้ำและระบบระบายน้ำที่มีอยู่ของโครงการ

Knisel และคณะ (1969) ได้พัฒนาสมการของ Hartman เพื่อคาดคะเนปริมาณ
ของน้ำไหลผิวดินที่เกิดจากฝน โดยอาศัยข้อมูลภูมิอากาศรายวัน สำหรับพื้นที่ที่ไม่มีสถานีวัดน้ำ
สมการทั่วไปของวิธีการนี้คือ

$$Q = [P(P-P_1)] / [1/G + (P-P_1)] \quad (1)$$

เมื่อ Q และ P เป็นความสูงของน้ำไหลผิวดินและน้ำฝนรายวันของพื้นที่รับน้ำตาม
ลำดับ P_1 เป็นความสูงของน้ำในก่อนที่จะเกิดน้ำไหลผิวดิน และจะ เป็นค่าคงที่ของสมการ
ค่าของ P_1 และ G อยู่ในฟังก์ชันของความชื้นในดินที่นำมาใช้ได้ (Available soil
moisture) ปริมาณของน้ำสะสมในชั้นดินหาได้จาก $P-Q$ และค่าความชื้นสูญเสียไป คำนวณ
ได้จากสมการ

$$SM_t = SM_0 K^t \quad (2)$$

เมื่อ SM_t เป็นความชื้นในดินที่เวลา t , SM_0 เป็นความชื้นในดินที่ก่อนเวลา t , K เป็นอัตราการสูญเสียน้ำ (Dissipation rate) ซึ่งมีค่าตามความสัมพันธ์ของความชื้นในดิน (SM) ค่าเฉลี่ยการระเหยจากผิวดินรายวัน (PE) และอุณหภูมิของอากาศ (T)
Kawkins (1979) ให้ความสัมพันธ์ไว้ดังนี้

$$K = c_0 + c_1 \cdot SM + c_2 \cdot PE + c_3 \cdot T \quad (3)$$

c_0 , c_1 , c_2 และ c_3 เป็นค่าคงที่ของสมการ เปลี่ยนแปลงไปตามฤดูกาลของภูมิอากาศ สำหรับกรณีที่สภาพความชื้นในดินมีค่าสูงมากหรือต่ำมาก ความชื้นที่สูญเสียไปจะคำนวณใหม่ได้จาก

$$SM_t = SM_0 - ct \quad (4)$$

โดย c เป็นค่าคงที่ของสมการ มีค่าเปลี่ยนแปลงตามค่าของ K

Hyatt ให้สมการอย่างง่ายสำหรับคำนวณปริมาณน้ำไหลผิวดิน (Q_r) สำหรับพื้นที่ชลประทานไว้จากผลต่างระหว่างปริมาณน้ำที่นำเข้าพื้นที่ (Diversion water) หรือ Wt_r กับปริมาณน้ำที่หายไปเนื่องจากการรั่วซึมลงดิน การระเหยและการคายน้ำของพืช ในเทอมของ Wd_r ดังนี้

$$Q_r = Wt_r - Wd_r \quad (5)$$

สมการนี้ เหมาะสมสำหรับการคาดคะเนผลของระบบรวม (Overall system)

2.3 การหาปริมาณน้ำซึมลึกลงดิน (Deep percolation)

Hyatt ให้สมการทั่วไปไว้ดังนี้

$$G_r = F_r - ET_r \quad [M_s(t) = M_{CS}]$$

$$G_r = 0 \quad [M_s(t) < M_{CS}]$$

เมื่อ G_r เป็นอัตราการซึมลงดิน, F_x เป็นอัตราการซึมผ่านผิวดิน (Infiltration rate), ET_x เป็นอัตราการระเหยและคายน้ำของพืชที่เกิดขึ้น $M_s(t)$ เป็นปริมาณน้ำในเขตรากพืชที่พืชสามารถนำเอาไปใช้ได้ในเวลา t , และ M_{cs} เป็นความสามารถในการเก็บน้ำในระดับที่มีประโยชน์ต่อพืช (Water available to plants) ในเขตรากพืช สมมติฐานของสมการนี้ทำให้ค่าน้ำซึมลงดิน เกิดขึ้น เมื่อความชื้นในดินมีค่ามากกว่าหรือเท่ากับความชื้นในดินที่พืชนำไปใช้ได้เท่านั้น Hornsby (1973) ได้สนับสนุนสมมติฐานของ Hyatt ว่าสามารถใช้ได้โดยไม่ให้ความผิดพลาดมากนัก น้ำซึมลงดินจะเกิดขึ้นอย่างรวดเร็วภายหลังจากการได้รับน้ำจากฝนหรือการชลประทาน เมื่อดินในเขต Transmission ใกล้เคียงตัวและจะเกิดขึ้นต่อไปอีกอย่างช้า ๆ เมื่อดินอยู่ในสภาพกึ่งอิ่มตัว

Hurley (1961, 1968) ให้สมการคำนวณอัตราการซึมลงดินในพื้นที่ชลประทานจากผลรวมของน้ำชลประทานและน้ำฝนใช้การลดด้วยอัตราการใช้น้ำของพืชและน้ำระบายออกที่เปลี่ยนแปลงหรือน้ำทิ้งของโครงการ

2.4 กลศาสตร์การไหลของน้ำใต้ดิน

การไหลของน้ำผ่านชั้นดินที่มีเนื้อดินและคุณสมบัติ เช่น เดียวกันตลอด (Homogeneous and Isotropic) และอยู่ในสภาพอิ่มน้ำ Darcy ให้สมการไว้ดังนี้

$$v = -k \frac{\partial \psi}{\partial l} \quad (1)$$

เมื่อ v เป็นความเร็วของการไหล k เป็นค่าคงที่ของคุณสมบัติของดินหรือเรียกว่า สัมประสิทธิ์การให้น้ำซึมผ่านของดิน และ ψ เป็นศักย์รวมที่เกิดจากความดันและแรงโน้มถ่วงของโลก (Total potential or head) ระหว่างระยะทาง l ในทิศทางการไหลของน้ำ เครื่องหมายลบแสดงทิศทางของการไหลเกิดทางด้านศักย์ที่น้อยกว่า

สมการการไหลของน้ำในชั้นน้ำเปิด (Confined aquifer) ที่มีชั้นตึมน้ำข้างล่างอยู่ในแนวราบ ได้อาศัยสมมติฐานของ Dupuit ที่กำหนดว่า Head หรือระดับน้ำใต้ดินมีความแตกต่างกันน้อย (Low slope) และความเร็วของน้ำในแนวราบไม่เปลี่ยนแปลงตามความสูง กับสมการของ Darcy และสมการ Continuity ในสภาพการไหลแบบ Nonsteady

ตามทิศทางตามแกน และ ความสัมพันธ์มีดังนี้

$$-K \left[\frac{\partial}{\partial x} \left(\frac{\psi \partial \psi}{\partial x} \right) + \frac{\partial}{\partial y} \left(\frac{\psi \partial \psi}{\partial y} \right) \right] dx dy = -\mu \frac{\partial \psi}{\partial t} dx dy \quad (2)$$

เมื่อปริมาณน้ำที่ไหลในแกน $x = -k \left(\frac{\psi \partial \psi}{\partial x} \right) dy$, ในแกน $y = -k \left(\frac{\psi \partial \psi}{\partial y} \right) dx$, เทอม $-\mu \frac{\partial \psi}{\partial t} dx dy$ หมายถึง การเปลี่ยนแปลงของปริมาณน้ำในชั้นดิน (Change of storage) และ μ แทนค่าสัมประสิทธิ์การเก็บน้ำของชั้นดิน

โดยที่ความแตกต่างของ Head เกิดขึ้นน้อยมากเมื่อเทียบกับความสูงของชั้นน้ำ (ψ) ดังนั้น ให้ h แทนความสูงที่แตกต่างของระดับน้ำ และ D แทนความลึกคงที่ของชั้นน้ำตามรูป

1 สมการที่ 2 จะเขียนใหม่ได้เป็น

$$\frac{\partial^2 h}{\partial x^2} + \frac{\partial^2 h}{\partial y^2} = \frac{\mu}{KD} \frac{\partial h}{\partial t}$$

ซึ่งเป็นสมการพื้นฐานของการคำนวณปริมาณน้ำที่ไหลออกจากชั้นน้ำใต้ดินสู่ผิวน้ำ (Surface water) รายละเอียดของการแปลงสมการที่เกี่ยวข้องจะสามารถดูได้จาก Numerical Methods in Subsurface Hydrology โดย Remson, I, Hornberger, G.H., และ Molz, F.J., และ Dynamics of Fluids in Porous Media โดย Bear, J

2.5 การไหลของน้ำใต้ดินสู่รางระบายน้ำคู่ (Parallel Drains)

เมื่อพิจารณาถึงการซึมลึกลงดินของน้ำผิวดินในแนวตั้งลงสู่ชั้นน้ำใต้ดิน ไม่ว่าจะจากน้ำชลประทานหรือน้ำฝน ในพื้นที่ขนาดใหญ่ มีผลทำให้ระดับของน้ำใต้ดินเปลี่ยนแปลง ระดับที่เปลี่ยนแปลงนี้ทำให้เกิดการไหลของน้ำจากชั้นน้ำใต้ดินสู่รางระบายน้ำ

รูป 2.2 เมื่อระดับของน้ำใต้ดินอยู่ในแนวระดับที่ D จากชั้นทิมน้ำ Dumm (1954) ได้สมมติว่าระดับน้ำใต้ดินจะเพิ่มขึ้นอย่างรวดเร็วจนถึงระดับเฉลี่ยที่ h_i เหมือนระดับน้ำในรางระบายน้ำเนื่องจากน้ำที่เพิ่มให้ (Recharge) R_i ในเวลา $t_i \dots (h_i = R_i/\mu)$ ดังนั้น น้ำจะไหลออกจากชั้นเก็บน้ำสู่รางระบายน้ำและระดับของน้ำใต้ดินจะลดลง ภายหลังเวลา $t=t_i$ สมการ 2 จะเขียนใหม่ได้ดังนี้

$$\alpha \frac{\partial^2 h}{\partial x^2} = \frac{\partial h}{\partial t} \quad (3)$$

$$\text{เมื่อ } \alpha = KD/\mu$$

โดยที่ $h \ll D$ และ Boundary condition จะเป็น $h(0,t) = h(L,t) = 0$

เมื่อ L คือระยะทางของรางระบายน้ำ Glover (1953) ได้ให้ผลลัพธ์ของสมการ 3 ที่ $x = L/2$ ดังนี้

$$h_t = \frac{4R_i}{\sqrt{\mu}} \sum_{n=1,3,5}^{\infty} \frac{e^{-\alpha n^2 \pi^2 (t-t_i)/L^2}}{n} \cdot \sin\left(\frac{n\pi}{2}\right) \quad (4)$$

ปริมาณน้ำที่ไหลลงสู่รางระบายน้ำจากด้านหนึ่ง

$$q = KD \left(\frac{\partial h}{\partial x} \right)_{x=0} \quad (5)$$

2.6 การไหลของน้ำใต้ดินซึ่ง เป็นผลมาจากน้ำที่ไหล มีค่าเปลี่ยนแปลง (Varying Recharge)

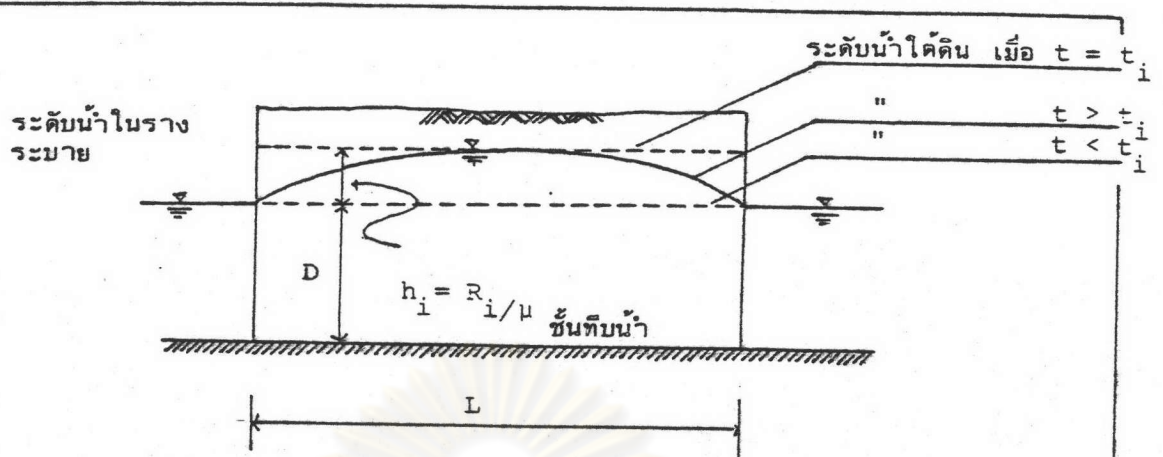
Kraijennhoff และ Maasland มีความเห็นว่า ความสูงของระดับน้ำ h_t ที่ $x = L/2$ ในช่วงเวลาจาก 0 ถึง t เป็นผลมาจากน้ำที่ไหลในเวลา dt ด้วยอัตรา R_{dt} โดยอัตราของน้ำที่ไหล (R_{dt}) จะคงที่ในช่วงเวลา dt เท่านั้น สมการจะเปลี่ยนไปเป็น (Wesseling, 1973)

$$h_t = \frac{4R}{\sqrt{\mu}} j \sum_{n=1,3,5}^{\infty} \frac{1-e^{-\alpha n^2 \pi^2 (t-t_i)/L^2}}{n^3} \quad (7.)$$

$$\text{และ } g_t = \frac{8R}{\sqrt{\mu}^2} \sum_{n=1,3,5}^{\infty} \frac{1-e^{-\alpha n^2 \pi^2 (t-t_i)/L^2}}{n^2} \quad (8)$$

$$\text{เมื่อ } j \text{ เรียกว่า Reservoir coefficient} = \frac{\mu L^2}{\sqrt{\mu}^2 KD}$$

$$\text{และโดยที่ } \frac{1}{2^2} + \frac{1}{3^2} + \frac{1}{5^2} + \dots \infty \text{ มีค่าใกล้เคียงกับค่า } \frac{\sqrt{\mu}^2}{8}$$



รูป 2.2 การไหลของน้ำใต้ดินสู่รางระบายคู้

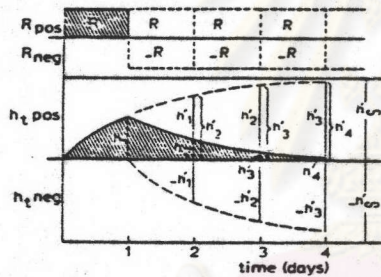


Fig.

Principle of superposition of recharge (R) and water-table elevation (h) for the Kraijenhoff van de Leur-Maasland equation.

รูปที่ 2.3 หลักการของ SUPERPOSITION ที่นำมาใช้กับสมการของ KRAIJENHOFF และ MAASLAND (WESSELING, 1973)

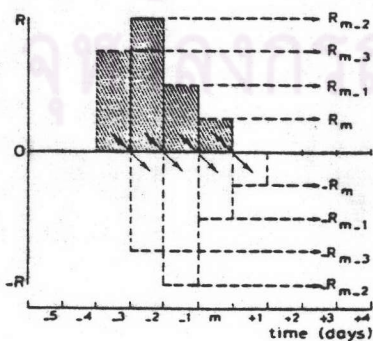


Fig.

Superposition of intermittent recharge for the Kraijenhoff van de Leur-Maasland equation.

รูปที่ 2.4 วิธี SUPERPOSITION ของ R ที่ไม่คงที่ สำหรับสมการของ KRAIJENHOFF และ MAASLAND (WESSELING, 1973)

$$\text{สมการที่ 8 จะเขียนได้ } \frac{q_t}{R} = 1 - \frac{8}{\pi^2} \sum_{n=1,3,5}^{\infty} \frac{e^{-\alpha n^2 \pi^2 (t-t_i)/L^2}}{n^2} \quad (9)$$

ซึ่ง Glover เรียกเทอมหลังว่า Part remaining (P) หรือเป็นส่วนหนึ่งของน้ำ ที่คงอยู่ในชั้นน้ำใต้ดินในเวลาใด ๆ หลังจากการให้น้ำ

$$\frac{Q_t}{R} = 1-P$$

$$P = \frac{\mu \int_0^L h dx}{RL} = \frac{8}{\pi^2} \sum_{n=1,3,5}^{\infty} \frac{e^{-\alpha n^2 \pi^2 (t-t_i)/L^2}}{n^2} \quad (10)$$

2.7 การใช้สมการของการไหลของน้ำใต้ดิน ในกรณีต่าง ๆ

Wesseling (1973) ได้แสดงการใช้สมการของ Kraijenhoff และ Maasland คำนวณการไหลของน้ำและระดับของน้ำใต้ดินในสภาพของค่า R ต่าง ๆ กัน โดยเฉพาะในพื้นที่ ชลประทานซึ่งค่าของ R จะมีค่าไม่เท่ากับตลอดทั้งปี

2.7.1 ในกรณีที่ค่า R มีค่าคงที่สม่ำเสมอ

สมการที่ 7 และ 8 สามารถจัดรูปใหม่ได้ดังนี้

$$h_t = \frac{R}{\mu} \cdot j \cdot c_t \quad (11)$$

$$q_t = R \cdot g_t \quad (12)$$

$$c_t = \frac{4}{\pi} \sum_{n=1,3,5}^{\infty} \frac{1-e^{-\alpha n^2 \pi^2 t/L^2}}{n^3}$$

$$g_t = \frac{8}{\pi^2} \sum_{n=1,3,5}^{\infty} \frac{1-e^{-\alpha n^2 \pi^2 t/L^2}}{n^2}$$

2.7.2 การคำนวณในกรณีที่ไม่มีค่าน้ำที่ไหล (R) ในช่วงเวลาต่อมา

หลังจากการให้น้ำแก่พื้นที่แล้วหยุด เป็นเวลาหลายวันติดต่อกัน โดยหลักการของ Super position หลังจากค่า R ของการให้น้ำวันสุดท้ายจะทำให้ระดับของน้ำได้ดินลดลงในอัตราที่เปรียบเสมือนการให้น้ำอัตรา -R ของวันต่อมา ตามรูป 2.3 เมื่อวันที่ t เป็นวันที่นับจากวันที่เริ่มหยุดให้น้ำ

$$h_t = \frac{R}{\mu} \cdot j \cdot (c_t - c_{t-1}) \quad (13)$$

$$f_t = R \cdot (g_t - g_{t-1}) \quad (14)$$

2.7.3 การคำนวณในกรณีที่ค่า R มีค่าไม่เท่ากันในแต่ละช่วงเวลา

โดยการใช้วิธี Super position เช่นเดียวกับ 2.7.2 เมื่อ m เป็นจำนวนช่วงเวลาพิจารณา

$$h_m = \frac{1}{\mu} |C_1 R_m + C_2 R_{m-1} + C_3 R_{m-2} + \dots + C_m R_1| \quad (15)$$

$$g_m = |G_1 R_m + G_2 R_{m-1} + G_3 R_{m-2} + \dots + G_m R_1| \quad (16)$$

$$C_1 = c_1 j, C_2 = (c_2 - c_1) j, C_3 = (c_3 - c_2) j, \dots, C_m = (c_m - c_{m-1}) j$$

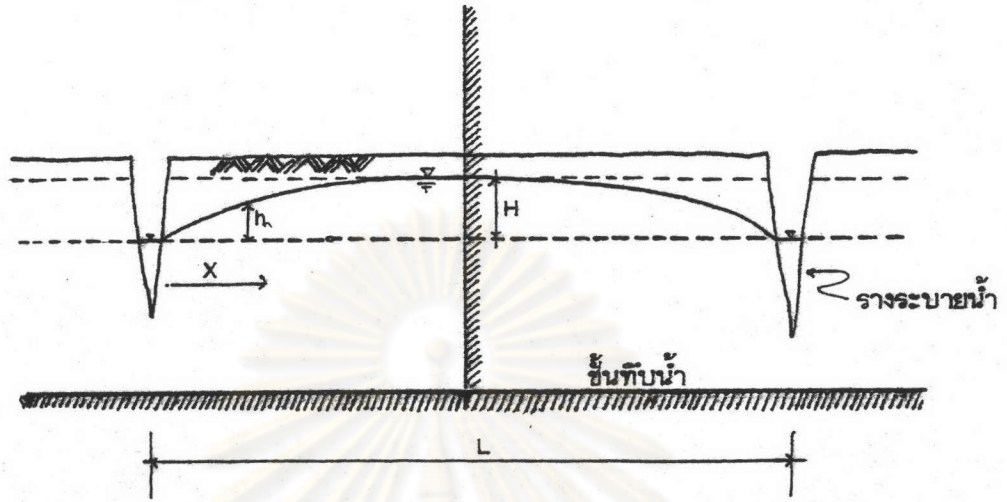
$$G_1 = g_1, G_2 = (g_2 - g_1), G_3 = (g_3 - g_2), \dots, G_m = (g_m - g_{m-1})$$

ค่า c_t , g_t , C และ G แสดงไว้ในตารางที่ 2, 3, 4 และ 5 ในภาคผนวก

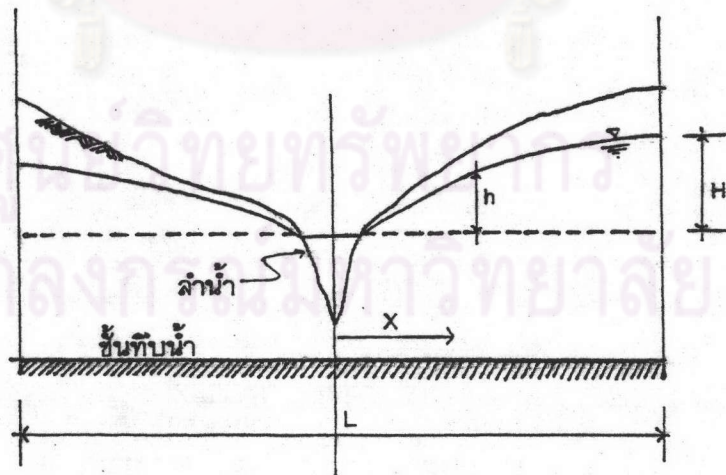
2.8 รูปของการกำหนดขนาดความกว้างของลุ่มน้ำ (L)

ในรูปที่ 2.5 ได้แสดงภาพของการกำหนดระยะห่างระหว่างทางระบายน้ำ เพื่อใช้สำหรับสมการการไหลของน้ำใต้ดินและหาความสูงของระดับน้ำใต้ดินเพื่อการระบายน้ำ (Drainable depth...H) โดยถือว่า คุณสมบัติของชั้นน้ำใต้ดินมีค่าคงที่โดยตลอด (ค่าของ D, K และ μ คงที่ตลอดทั้งรูป) และน้ำจะไหลในทิศทางของแกน x เท่านั้น

สำหรับพื้นที่ชลประทานในลุ่มน้ำต่าง ๆ จะมีสภาพตามรูปที่ 2.6 โดยมีแม่น้ำ ลำน้ำ ธรรมชาติแทนที่ทางระบายน้ำของรูป 2.5 กึ่งกลางของระยะห่างของทางระบายน้ำ จะเปรียบ



รูป 2.5 มโนทัศน์ของรางระบายน้ำคู้ (HURLEY, 1968)



รูป 2.6 มโนทัศน์ของลุ่มน้ำ (HURLEY, 1968)

เสมือนชั้นดินน้ำซึ่งจะ เป็นสันปันน้ำของน้ำใต้ดินตามธรรมชาติของรูปที่ 2.6 (Hurley, 1968)

2.9 การคำนวณปริมาณของการไหลของน้ำใต้ดิน โดยวิธีการของ Hurley

Hurley (1961, 1968) ได้เสนอวิธีการคำนวณปริมาณการไหลของน้ำใต้ดินจาก สมการของ Golver (สมการที่ 10) ซึ่งเรียกว่า Part remaining หรือปริมาณน้ำที่ยังคง อยู่ในดินในเวลา t ค่าความสัมพันธ์ของ P ได้แสดงไว้ในรูป 2.7 ในเทอมของ $\frac{\sqrt{4\alpha t}}{L}$ (McWhorter & Sunada, 1977) ผลแตกต่างของ P_1 และ P_2 ในเวลา t_1 และ t_2 ตามลำดับ เท่ากับ ΔP หรือปริมาณน้ำที่ไหลลงสู่ทางระบายในช่วง เวลา $t_2 - t_1$ นั้นเอง เมื่อ R มีค่าเท่ากับ 1

ดังนั้น ปริมาณการไหลของน้ำ $g_m = R_1(P_1 - P_2) + R_2(P_2 - P_3) + \dots + R_m(P_m - P_{m-1})$ (17)

เมื่อ g_m เป็นปริมาณการไหลของน้ำ ในวันที่ m อย่างไรก็ตาม สมการของ สามารถใช้ได้กับสภาพพื้นที่ที่มี เนื้อดินมีคุณสมบัติ เป็นอย่าง เดียวกันโดยตลอด (Homogeneous) และ เมื่อทราบปริมาณน้ำซึมลงดินที่แน่นอนแล้ว (YEH, 1969 และ Blaney, 1969)

ศูนย์วิทยทรัพยากร
จุฬาลงกรณ์มหาวิทยาลัย

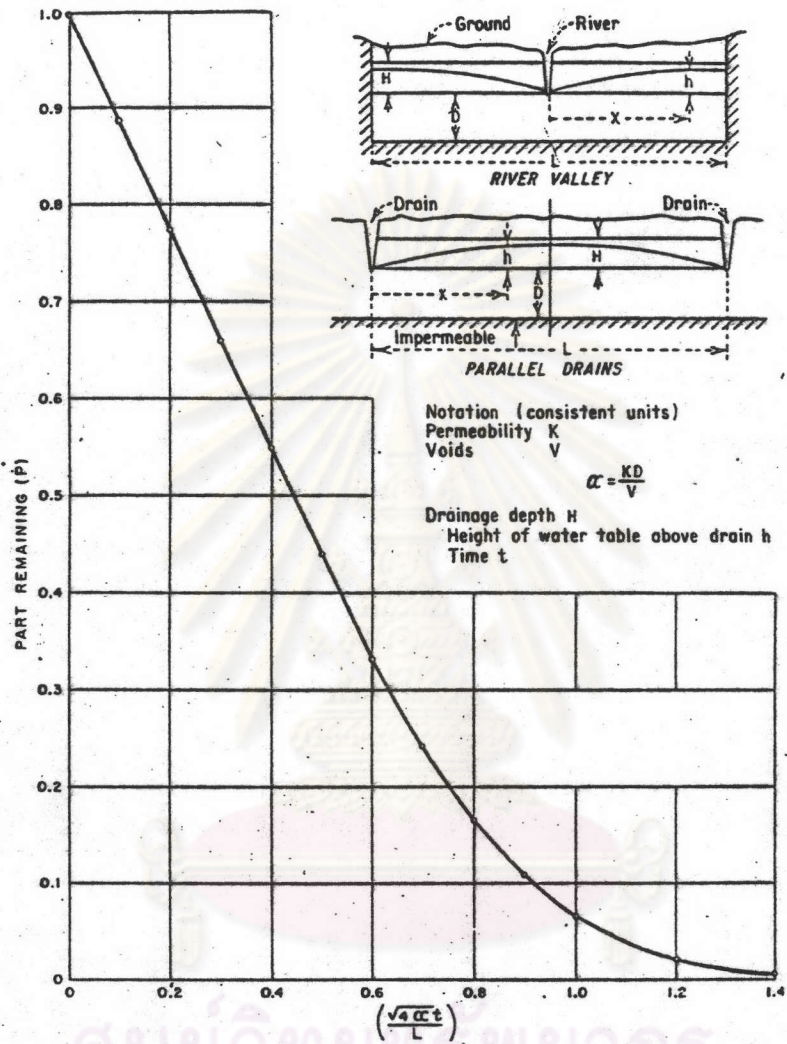


FIG. 2.7 PART DRAINAGE VOLUME REMAINING

(HURLEY, 1968)